

Κβαντική Περιγραφή του Κόσμου μας

Κωνσταντίνος Σφέτσος

Καθηγητής Φυσικής

Γενικό Τμήμα, Πανεπιστήμιο Πατρών

Θερινό Σχολείο Φυσικής στην Εκπαίδευση

28 Ιουνίου - 1 Ιουλίου 2010

Εστία Επιστημών Πάτρας

## Τι εννοούμε Κόσμος;

- ▶ Μην πανικοβάλεστε! Δεν θα καταφύγω σε Φιλοσοφία....
- ▶ Η **Φυσική**, ως **Θεμελιώδη Επιστήμη**, συγκεκριμενοποιεί και πιστοποιεί το ερώτημα.
- ▶ Θα επιχειρήσω να περιγράψω, με βάση μια και μόνο θεωρία, την **Κβαντική Φυσική**, φαινόμενα:
  - ▶ σε αποστάσεις από  $10^{-12} - 10^{-9}$  m, δηλαδή σε επίπεδο **ατόμων και μορίων**.
  - ▶ για μη σχετικιστικές ενέργειες και αρκετά **ασθενή Ηλεκτρομαγνητικά Πεδία**.  
Μη παραγωγή νέων σωματιδίων.
- ▶ Ουσιαστικά θα περιγράψω:
  - ▶ Πολύ βασικούς **χημικούς μηχανισμούς** από πρώτες αρχές.
  - ▶ Πρωτοποριακή (στην εποχή της) **Τεχνολογική εφαρμογή**.

## Περιεχόμενα

- ▶ Βασικά στοιχεία της Κβαντικής Φυσικής.
- ▶ Στοιχεία Κβαντικής Θεωρίας Χημικού Δεσμού.
- ▶ Το περιοδικό σύστημα των στοιχείων.
- ▶ Το μόριο της Αμμωνίας.
- ▶ Τεχνολογική εφαρμογή: Το MASER Αμμωνίας.

# Βασικά στοιχεία της Κβαντικής Φυσικής

## Φυσικά συστήματα και οι καταστάσεις τους

- ▶ Περιγράφονται από διανύσματα  $|\Psi\rangle$ , με συζυγή  $\langle\Psi|$ .
- ▶ Με βάση ένα ορθοκανονικό και πλήρες σύστημα  $|i\rangle$

$$\langle i|j\rangle = \delta_{ij}, \quad \sum_i |i\rangle\langle i| = \mathbb{I},$$

η  $\Psi$  αναλύεται ως γραμμικός συνδυασμός

$$|\Psi\rangle = \sum_i c_i |i\rangle \implies c_i = \langle i|\Psi\rangle.$$

$c_i$  είναι το **πλάτος πιθανότητας** η κατάσταση  $|\Psi\rangle$  να βρίσκεται στην βασική κατάσταση  $|i\rangle$ .

Αν  $\langle\Psi|\Psi\rangle = 1$ , τότε  $|c_i|^2$  είναι η πιθανότητα.

- ▶ Φυσικές ποσότητες  $A$  αντιστοιχούν σε Ερμιτιανούς τελεστές

$$A \rightarrow \hat{A}: \quad \hat{A}_{ij} = \langle i|\hat{A}|j\rangle = \langle i|\hat{A}^\dagger|j\rangle = \hat{A}_{ji}^*. \quad$$

## Χρονοεξέλιξη Φυσικών Συστημάτων

- Η χρονική εξέλιξη από  $|\Psi(t_1)\rangle$  σε  $|\Psi(t_2)\rangle$  καθορίζεται απ' τη δράση ενός τελεστή  $U(t_2, t_1)$  ως

$$|\Psi(t_2)\rangle = U(t_2, t_1)|\Psi(t_1)\rangle \implies \langle\Psi(t_2)| = \langle\Psi(t_1)|U^\dagger(t_2, t_1).$$

- Βασική ιδιότητα του  $U(t_2, t_1)$

$$\begin{aligned} |\Psi(t_3)\rangle &= U(t_3, t_1)|\Psi(t_1)\rangle \\ &= U(t_3, t_2)|\Psi(t_2)\rangle = U(t_3, t_2)U(t_2, t_1)|\Psi(t_1)\rangle. \end{aligned}$$

Άρα

$$U(t_3, t_1) = U(t_3, t_2)U(t_2, t_1).$$

► Επειδή

$$U(t_1, t_1) = \mathbb{I} \implies U(t_1, t_2)U(t_2, t_1) = \mathbb{I}.$$

► Διατήρηση της πιθανότητας

$$\langle \Psi(t_2) | \Psi(t_2) \rangle = \langle \Psi(t_1) | U^\dagger(t_2, t_1)U(t_2, t_1)\Psi(t_1) \rangle = \langle \Psi(t_1) | \Psi(t_1) \rangle.$$

Άρα

$$U^\dagger(t_2, t_1)U(t_2, t_1) = \mathbb{I}.$$

- Ο υπολογισμός του  $U$  αποτελεί το **κεντρικό πρόβλημα** στην Κβαντική Φυσική. Ειδικότερα:

- Σε περιοδικά συστήματα η απόκριση μετά από μιά περίοδο:  $U(T, 0)$ .
- Σε σκέδαση ο λεγόμενος πίνακας:  $S = U(\infty, -\infty)$ .

## Η εξίσωση του Schrödinger

- ▶ Για απειροστή χρονική εξέλιξη

$$\Psi(t+dt) = U(t+dt, t)\Psi(t) , \quad U(t+dt, t) \simeq \mathbb{I} - \frac{i}{\hbar} \hat{H} dt ,$$

οπότε

$$i\hbar \frac{\partial \Psi}{\partial t} = \hat{H}\Psi .$$

- ▶ Για ένα σωμάτιο με μάζας  $m$  σε εξωτερικό δυναμικό  $V(\mathbf{x})$

$$\hat{H} = \frac{\hat{\mathbf{P}}^2}{2m} + V(\hat{\mathbf{x}}) .$$

Οι τελεστές ορμής και θέσης αναπαρίστανται ως

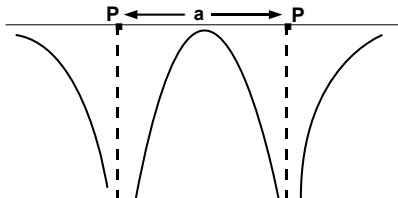
$$\hat{\mathbf{x}} = \mathbf{x} , \quad \hat{\mathbf{P}} = -i\hbar\nabla .$$

- ▶ Για πολλά σωμάτια πρέπει να περιλάβουμε και το δυναμικό αλληλεπίδρασή τους.

# Στοιχεία Κβαντικής Θεωρίας Χημικού Δεσμού

## Από άτομα σε μόρια

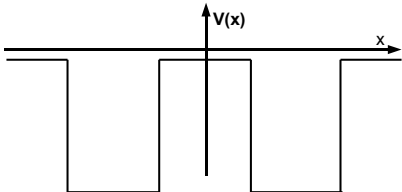
- ▶ Άτομα σχηματίζουν μόρια μόνον αν **ενεργειακά συμφέρον**.
- ▶ Η Κβαντική Φυσική ερμηνεύει **πλήρως τις χημικές ιδιότητές**.



**Σχήμα:** Μονοδιάστατο μόριο με ενδοπυρηνική απόσταση  $a$ .

- ▶ Ποιά είναι η κυματοσυνάρτηση  $\Psi$  της βασικής κατάστασης;
- ▶ Ποιά είναι η αντίστοιχη ιδιοενέργεια;
- ▶ Συμφέρει ενεργειακά τα ηλεκτρόνια να είναι κοινά στους δύο πυρήνες (**απεντοπισμός**); Αν ναι, σχηματισμός μορίου.

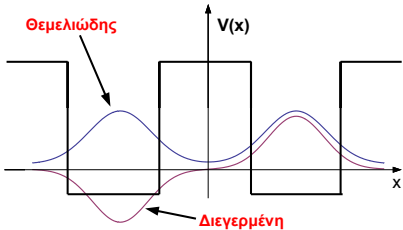
Ασφαλή συμπεράσματα χωρίς πολύπλοκους υπολογισμούς;



Σχήμα: Προτυποποίηση με διπλό πηγάδι.

Η κυματοσυνάρτηση της **θεμελιώδους**:

- ▶ Εντοπισμένη γύρω απ' τα ελάχιστα του  $V(x)$ .
- ▶ Δεν έχει κόμβο και διατηρεί τη **συμμετρία** του  $V(x)$ .



Οι κυματοσυναρτήσεις προσεγγιστικά  
 $\Psi_1(x)$  και  $\Psi_2(x)$  οι κυματοσυναρτήσεις των δύο πηγαδιών

$$\text{Συμμετρία : } \Psi_2(-x) = \Psi_1(x) .$$

- Θεμελιώδης κατάσταση:

$$\Psi_+ = \frac{1}{\sqrt{2}}(\Psi_1 + \Psi_2) , \quad \Psi_+(-x) = \Psi_+(x) .$$

- Πρώτη διεγερμένη κατάσταση:

$$\Psi_- = \frac{1}{\sqrt{2}}(\Psi_1 - \Psi_2) , \quad \Psi_-(-x) = -\Psi_-(x) .$$

- Η προσέγγιση είναι καλή αν ο βαθμός αλληλεπικάλυψης

$$\langle \Psi_1 | \Psi_2 \rangle = \int_{-\infty}^{\infty} dx \Psi_1 \Psi_2 ,$$

είναι μικρός.

## Οι ιδιοτιμές προσεγγιστικά

- ▶ Για τα δύο πηγάδια οι Χαμιλτονιανές είναι

$$H_i = \frac{p^2}{2m} + V_i(x) , \quad H_i \Psi_i = E_0 \Psi_i , \quad i = 1, 2 ,$$

με

$$\text{Δέσμιες καταστάσεις : } E_0 < 0 .$$

- ▶ Η Χαμιλτονιανή του διπλού πηγαδιού είναι

$$H = \frac{p^2}{2m} + V_1(x) + V_2(x) .$$

- ▶ Η ενέργεια που αντιστοιχεί στις προσεγγιστικές  $\Psi_{\pm}$  είναι

$$E_{\pm} = \langle \Psi_{\pm} | H | \Psi_{\pm} \rangle = \frac{1}{2}(H_{11} + H_{22}) \pm \frac{1}{2}(H_{12} + H_{21}) ,$$

όπου ο πίνακας

$$H_{ij} = \langle \Psi_i | H | \Psi_j \rangle .$$

- ▶ Για τα στοιχεία του πίνακα

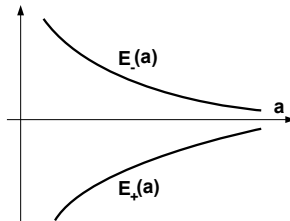
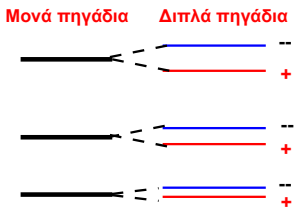
$$H_{11} = \underbrace{\langle \Psi_1 | H_1 | \Psi_1 \rangle}_{=E_0} + \underbrace{\langle \Psi_1 | V_2 | \Psi_1 \rangle}_{\approx 0} \simeq E_0 .$$

και

$$H_{12} = \langle \Psi_1 | \underbrace{E_0 + V_1}_{<0} | \Psi_2 \rangle = -\epsilon(a) < 0 .$$

- ▶ Λόγω συμμετρίας  $H_{22} = H_{11}$  και  $H_{21} = H_{12}$ .
- ▶ Η ενέργεια των δύο καταστάσεων είναι

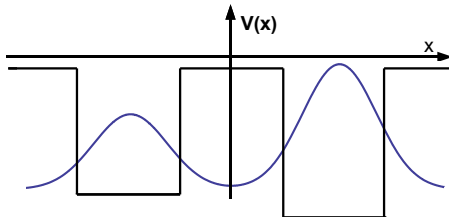
$$E_{\pm}(a) \simeq E_0 \mp \epsilon(a) .$$



**Σχήμα:** Εντονότερη άρση εκφυλισμού για διεγερμένες καταστάσεις.

## Πολικότητα και μόρια διαφορετικών ατόμων

### Ανισόβαθμα πηγάδια



Σχήμα: Η κυματοσυνάρτηση  $\Psi = c_1 \Psi_1 + c_2 \Psi_2$ , με  $c_2 > c_1$ .

- ▶ Ηλεκτρονικό νέφος παρουσιάζει πολικότητα.
- ▶ Το βαθύτερο πηγάδι είναι ηλεκτραρνητικό.
- ▶ Το μόριο έχει διπολική ροπή. Σημαντικό σε τεχνολογικές εφαρμογές καθότι ευαίσθητο σε ΉΜ πεδία.
- ▶ Μεγάλη πολικότητα αντιστοιχεί σε στερεά και υγρή κατάσταση σε θερμοκρασία περιβάλλοντος. Αν μικρή, ασθενείς αλληπιδράσεις (Van der Waals), αέρια κατάσταση.

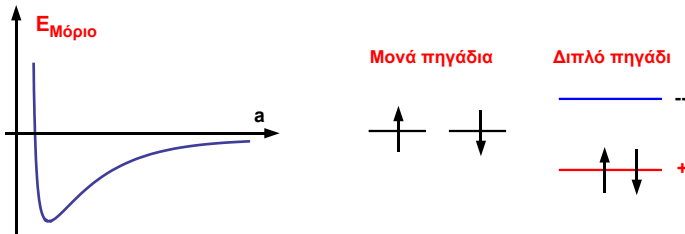
## Σχηματισμός μορίων

Επικοινώνια των διαφόρων σταθμών με βάση:

- ▶ Την ελαχιστοποίηση της ενέργειας του μοριακού δεσμού.
- ▶ Την απαγορευτική αρχή του Pauli.

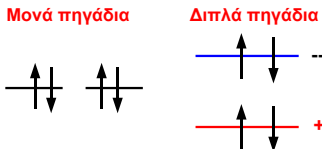
Ενέργεια δεσμού  $H_2$  (προσεγγιστικά):

$$E_{\text{Μόριο}} = 2(E_0 - \epsilon(a)) + e^2/a .$$



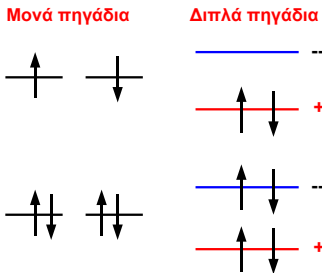
Σχήμα: Ενέργεια δεσμού και καταστάσεις στο μόριο του  $H_2$ .

- ▶ Χωρίς ενεργειακό όφελος δεν σχηματίζεται μόριο.



**Σχήμα:** Δύο άτομα  $He$  δεν σχηματίζουν μόριο (**ευγενές αέριο**).

- ▶ Ενεργειακό όφελος εξαιτίας (κυρίως) των ηλεκτρονίων της ημι-κατειλημμένης στάθμης (**Ηλεκτρόνια σθένους**).



**Σχήμα:** Δύο άτομα  $Li$  σχηματίζουν το μόριο  $Li_2$ .

# Το περιοδικό σύστημα των στοιχείων

## Άρση εκφυλισμού σε πραγματικά μόρια

- Μονοηλεκτρονικά άτομα, π.χ.  $H$ :

- Κυματοσυναρτήσεις  $\Psi_{n,\ell,m}$ , με κβαντικούς αριθμούς:  
 $n = 1, 2, \dots$  (**κύριος**),  $\ell = 0, 1, \dots, n-1$  (**στροφορμή**) και  
 $m = -\ell, -\ell+1, \dots, \ell$ .  
► Ιδιοενέργειες  $E_n = -13.6Z \text{ eV}/n^2$  με **εκφυλισμό**  $2n^2$ .

- Πολυατομικά μόρια:

- Ηλεκτρόνια σθένους αισθάνονται ένα θωρακισμένο δυναμικό, π.χ. της μορφής

$$V_{\Theta\omega\rho.}(r) = -Ze^2 \frac{e^{-mr}}{r} > V_{\text{Coul.}}(r) = -\frac{Ze^2}{r}.$$

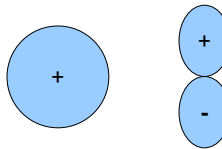
- Όλες οι στάθμες ανεβαίνουν και ο **εκφυλισμός** στον κβαντικό αριθμό  $\ell$  αίρεται

$$E_{n,\ell} \quad \text{με} \quad E_{n,\ell_1} < E_{n,\ell_2} \quad \text{αν} \quad \ell_1 < \ell_2.$$

## Τροχιακά

Είναι οι ατομικές καταστάσεις σε ορολογία χημικών.

- ▶ Οι καταστάσεις απαριθμούνται ως  $ns$ ,  $np$ ,  $nd$  κλπ.
  - ▶  $n$  ο κύριος κβαντικός αριθμός.
  - ▶  $s$ ,  $p$  και  $d$  αντιστοιχούν σε  $\ell = 0, 1$  και  $2$ .
- ▶ Στην Φύση τα σημαντικότερα τροχιακά είναι τα  $s$  και  $p$ .
- ▶ **Τροχιακά  $s$ :** Έχουν σφαιρική συμμετρία.
- ▶ **Τροχιακά  $p$ :** Παρουσιάζουν κατευθυντικότητα σε άξονα.



**Σχήμα:** Τροχιακά  $s$  και  $p$ .

- ▶ Όσον αφορά την άρση του εκφυλισμού

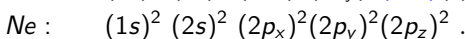
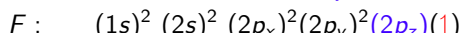
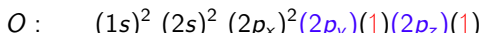
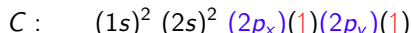
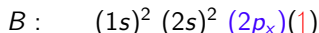
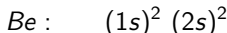
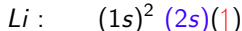
$$E_{ns} < E_{np} < E_{nd} < \dots$$

## Ερμηνεία του Περιοδικού Πίνακα

- Τα πρώτα 10 στοιχεία, με τις ενέργειες ιονισμού τους:

$H, 13.6$	-	-	-	-	-	-	$He, 24.6$
$Li, 5.4$	$Be, 9.3$	$B, 8.3$	$C, 11.3$	$N, 14.5$	$O, 13.6$	$F, 17.4$	$Ne, 21.6$

- Επικοινωνός των ενεργειακών σταθμών:



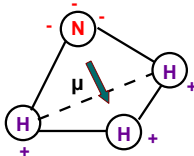
# Το μόριο της Αμμωνίας

## Κβαντική περιγραφή

- ▶ Το άζωτο  $N$  έχει ατομικό αριθμό  $Z = 7$ .

Τροχιακά :  $(1s)^2(2s)^2 \underbrace{(1p_x)(1p_y)(1p_z)}_{\text{Ηλεκτρόνια Σθένους}}$ ,

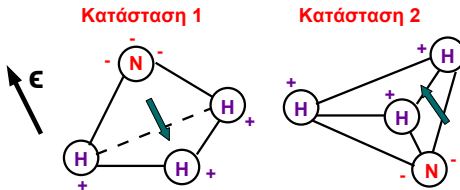
- ▶ Μπορεί να ενωθεί με 3  $H$  στο μόριο της αμμωνίας  $NH_3$ .



Σχήμα: Το μόριο  $NH_3$  και το διάνυσμα διπολικής ροπής.

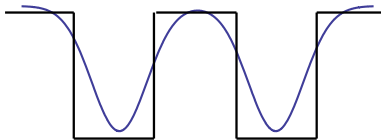
- ▶ Το άζωτο έλκει τα ηλεκτρόνια περισσότερο απ' ότι τα υδρογόνα. Έντονη **πολικότητα** και **διπολική ροπή**.

- Εκφυλισμός λόγω συμμετρίας ως προς τη θέση του  $N$ .



Σχήμα: Το μόριο  $NH_3$  με τις δύο δυνατές θέσεις του  $N$ .  
Παρατηρείστε τις αντίθετες διπολικές ροπές.

- Το ισοδύναμο δυναμικό



Σχήμα: Το άζωτο κινείται στο παραπάνω δυναμικό (κυανή γραμμή), απλοποιημένο σε διπλό πηγάδι (μαύρη γραμμή).

- Έχουμε δύο σχεδόν εκφυλισμένες στάθμες με

$$\Delta E_{NH_3} = E_- - E_+ = 2\epsilon = 10^{-4} \text{eV} \text{ (πειραματικά)}.$$

Αντιστοιχεί σε  $\nu = 24 \text{ GHz}$ ,  $\lambda = 1.25 \text{ cm}$  (μικροκύματα).

- Τγρή και αέρια κατάσταση:

- ▶ Στη βασική κατάσταση  $\Psi_+$  (άρτια) η διπολική ροπή είναι μηδέν και η αμμωνία είναι αέριο (βράζει σε  $-33^\circ C$ ).
- ▶ Αν υγρό, μετάβαση στις καταστάσεις πολικότητας  $\Psi_{1,2}$ . Όφελος από αλληλεπίδραση διπόλων ( $\sim 10^{-1} \text{ eV}$ ).

- Χρόνος ημι-ζωής:

$$\boxed{T_{NH_3}} \quad \simeq \quad \left( \frac{\Delta E_{\alpha\tau. \text{ αποδ.}}}{\Delta E_{NH_3}} \right)^3 T_{\alpha\tau. \text{ αποδ.}} \simeq (10^4)^3 \times 10^{-8} \text{ sec}$$

$$= \boxed{10^4 \text{ sec}}.$$

- ▶ Η διεγερμένη κατάσταση είναι μακρόβια.
- ▶ Σε θερμοκρασία περιβάλλοντος  $T = 30^\circ C$  (ή  $1/40 \text{ eV} \gg \Delta E_{NH_3}$ ), πρακτικά τα μισά μόρια του αερίου βρίσκονται στη διεγερμένη κατάσταση.

# Τεχνολογική εφαρμογή: Το Maser αμμωνίας

Παραγωγή ΗΜ ακτινοβολίας:

- ▶ **Ασυντόνιστες** αποδιεγέρσεις οδηγούν σε εκμπομπή ασύμφωνης ακτινοβολίας.
- ▶ **Εξαναγκασμένες ταυτόχρονες** μεταβάσεις πληθώρας πανομοιότυπων κβαντικών συστημάτων οδηγούν σε υψηλής ποιότητας ΗΜ σήματα.
- ▶ Στην περίπτωση της αμμωνίας: **Ενίσχυση Μικροκυμάτων με Εξαναγκασμένη Εκπομπή Ακτινοβολίας** (**MASER** = Microwave Amplification by Stimulated Emission of Radiation).

Πρακτικά ζητήματα:

- ▶ **Διαχωρισμός** μορίων, κρατώντας αυτά στην υψηλή στάθμη, με εφαρμογή σταθερού Ηλεκτρικού Πεδίου.
- ▶ **Εξαναγκασμένη** μετάβαση με εφαρμογή χρονοεξαρτημένου Ηλεκτρικού Πεδίου.

## Αμμωνία σε σταθερό Ηλεκτρικό πεδίο

Το πεδίο επηρεάζει διαφερετικά τις καταστάσεις 1 και 2 (με αντίθετες διπολικές ροπές).

- ▶ Ενέργεια αλλελεπίδρασης διπόλου με Ηλεκτρικό Πεδίο  $\mathcal{E}$

$$E_{\Delta \text{π.}} = -\mu \cdot \mathcal{E} .$$

- ▶ Για τις καταστάσεις 1 και 2 έχουμε

$$H_{11} = E_0 + \mu \mathcal{E} , \quad H_{22} = E_0 - \mu \mathcal{E} .$$

Τυποθέτοντας ότι το μόριο δεν παραμορφώνεται πολύ

$$H_{12} = H_{21} = -\epsilon ,$$

- ▶ Άρα έχουμε το πρόβλημα ιδιοτιμών

$$\begin{pmatrix} H_{11} & H_{12} \\ H_{21} & H_{22} \end{pmatrix} \Psi = E \Psi , \quad \Psi = \begin{pmatrix} C_1 \\ C_2 \end{pmatrix} .$$

- Οι ιδιοτιμές είναι

$$\text{Θεμελιώδης : } E_+ = E_0 - \sqrt{\epsilon^2 + \mu^2 \mathcal{E}^2},$$

$$1\text{η διεγερμένη : } E_- = E_0 + \sqrt{\epsilon^2 + \mu^2 \mathcal{E}^2}.$$

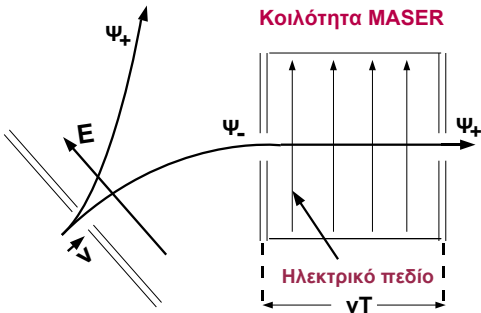
- Για μικρά πεδία εργαστηρίου ( $\mu \mathcal{E} \ll \epsilon$ ,  $\mu \sim 10^{-29} C \cdot m$ ,  $\mathcal{E} \sim 10^3 V/m$ )

$$E_{\pm} \simeq E_0 \mp \epsilon \mp \frac{\mu^2 \mathcal{E}^2}{2\epsilon}.$$

- Η διαφορετική συμπεριφορά των δύο καταστάσεων μπορεί να χρησιμοποιηθεί για των διαχωρισμό των μορίων.
- Αυτό επιτυγχάνεται με εφαρμογή ανομοιογενούς Ηλεκτρικού Πεδίου, καθέτως στη δέσμη.
  - Οι δυνάμεις που δέχονται τα μόρια στις καταστάσεις  $\Psi_+$   $\Psi_-$  είναι αντίθετες.
  - Συγκεκριμένα (εξ' ορισμού)

$$F_{\pm} = -\nabla E_{\pm} \simeq \pm \frac{\mu^2}{2\epsilon} \nabla \mathcal{E}^2.$$

# Η σχηματική αναπαράσταση της συσκευής MASER



- ▶ Στο 1ο στάδιο επιτυγχάνεται ο **διαχωρισμός** της δέσμης.
- ▶ Στο 2ο στάδιο επιτυγχάνεται συντονισμός και **εξαναγκασμένη μετάβαση** την διεγερμένης στη βασική κατάσταση με αποβολή **HM** ενέργειας.

## Αμμωνία σε χρονοεξαρτώμενο Ηλεκτρικό Πεδίο

- Μέσα στην κοιλότητα το Ηλεκτρικό Πεδίο  $\mathcal{E} = \mathcal{E}(t)$ . Άρα

$$\begin{pmatrix} H_{11} & H_{12} \\ H_{21} & H_{22} \end{pmatrix} \Psi = i\hbar \frac{d\Psi}{dt} , \quad \Psi(t) = \begin{pmatrix} C_1(t) \\ C_2(t) \end{pmatrix} .$$

- Αναλυτικά

$$\begin{aligned} i\hbar \frac{dC_1}{dt} &= (E_0 + \mu\mathcal{E}(t))C_1 - \epsilon C_2 , \\ i\hbar \frac{dC_2}{dt} &= -\epsilon C_1 + (E_0 - \mu\mathcal{E}(t))C_2 . \end{aligned}$$

- Θέτουμε  $C_{\pm} = \frac{1}{\sqrt{2}}(C_1 \pm C_2)$ , οπότε

$$i\hbar \frac{dC_{\pm}}{dt} = (E_0 \mp \epsilon)C_{\pm} + \mu\mathcal{E}(t)C_{\mp} ,$$

με αρχική συνθήκη

$$C_+(0) = 0 , \quad C_-(0) = 1 .$$

- Επιπλέον αλλάζουμε μεταβλητή ως

$$C_{\pm} = e^{-i/\hbar(E_0 \mp \epsilon)t} D_{\pm} ,$$

οπότε

$$i\hbar \frac{dD_{\pm}}{dt} = \mu \mathcal{E}(t) e^{\mp i\omega_0 t} D_{\mp} , \quad \hbar\omega_0 = 2\epsilon ,$$

με  $D_+(0) = 0$  και  $D_-(0) = 1$ .

- Ας υποθέσουμε ότι

$$\mathcal{E}(t) = 2\mathcal{E}_0 \cos \omega t .$$

Τότε για μικρά πλάτη αν  $\omega \simeq \omega_0$  προσεγγίζουμε

$$i\hbar \frac{dD_{\pm}}{dt} \simeq \mu \mathcal{E}_0 e^{\pm i(\omega - \omega_0)t} D_{\mp} .$$

- Αν ακριβώς  $\omega = \omega_0$ , τότε

$$i\hbar \frac{dD_{\pm}}{dt} \simeq \mu \mathcal{E}_0 D_{\mp} \implies \frac{d^2 D_{\pm}}{dt^2} + \left( \frac{\mu \mathcal{E}_0}{\hbar} \right)^2 D_{\pm} = 0 ,$$

αρμονικός ταλαντωτής. Το σύστημα επιλύεται και γενικά.

- ▶ Πιθανότητα μετάβασης στην κατάσταση  $\Psi_+$

$$P_+(t) = |C_+(t)|^2 = |D_+(t)|^2 = \frac{\mu^2 \mathcal{E}_0^2}{\hbar^2 \Omega^2} \sin^2 \Omega t ,$$

όπου

$$\Omega = \sqrt{(\omega - \omega_0)^2/4 + \mu^2 \mathcal{E}_0^2/\hbar^2} .$$

- ▶ Μεγιστοποίηση πλάτους μετάβασης για

$$\omega = \omega_0 \implies \Omega = \frac{\mu \mathcal{E}_0}{\hbar} .$$

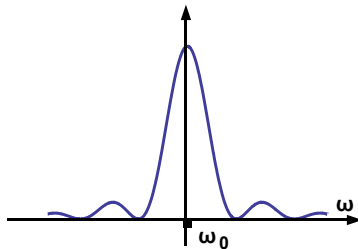
- ▶ Τότε, τη χρονική στιγμή

$$T = \frac{\pi \hbar}{2\mu \mathcal{E}_0} ,$$

το μόριο έχει  $P_+(T) = 1$  να είναι στην βασική κατάσταση.

- ▶ Αν το μήκος της κοιλότητας MASER είναι  $nT$ , **όλα τα μόρια** την εγκαταλείπουν στη **βασική** κατάσταση.

- ▶ Σχετικοί πληθυσμοί για άλλες χρονικές στιγμές;



**Σχήμα:** Σχετική πιθανότητα  $P_+(t)$  ως συνάρτηση της συχνότητας  $\omega$ .

- ▶ Τι απέγινε η ενεργειακή διαφορά;
  - ▶ Προσδώθηκε στο μηχανισμό που γεννά το πεδίο εντός της κοιλότητας.
  - ▶ Τροφοδότησε και ενίσχυσε το ΗΜ πεδίο (ίδιας συχνότητας) που εξανάγκασε την μετάβαση.
  - ▶ Για τις λεπτομέριες χειαζόμαστε κβάντωση του ΗΜ πεδίου.
- ▶ **Συμπέρασμα:** Η μοριακή ενέργεια μετατράπηκε σε ενέργεια ΗΜ κύματος υψηλής ποιότητας και έντασης.